

بهبود احتمال خطای بیت در لینک رادیویی قله‌متري ماهواره‌های LEO با استفاده از تکنیک MIMO

شاهرخ مرزبان^{۱*}، کمال محمدپور^۲ و سمیه پیرزادی^۳

۱- دانشکده مهندسی برق، دانشگاه صنعتی خواجه نصیرالدین طوسی

۲- گروه مهندسی برق، واحد قصر شیرین، دانشگاه آزاد اسلامی

*تهران، خیابان شریعتی، پل سیدخدان

shahrokhmarz@ee.kntu.ac.ir

پس از قرار گرفتن ماهواره LEO در مدار تعیین شده، سایت زمینی نیازمند ارتباط با آن برای دریافت اطلاعات و کنترل زیرسیستم‌های آن است. با توجه به اینکه کانال‌های ارتباط ماهواره‌ای تحت تاثیر شرایط سایه (Shadowing) قرار می‌گیرند، در صورت وجود سیگنال دید مستقیم (LOS) بین فرستنده و گیرنده شرایط کانال رادیویی خوب بوده و کانال با نویز گوسی سفید جمع‌شونده (AWGN) به صورت توزیع رایس (Rician) مدل می‌شود. ولی در شرایط نامناسب و نبود دیدمستقیم، مدل کانال، توزیع رایلی (Rayleigh) بوده که با توجه به شرایط لینک رادیویی، کانال بین این دو مدل سوچیج می‌شود. در یک مدل مناسب باید رفتار متغیر با زمان لینک رادیویی ماهواره- ایستگاه در نظر گرفته شود. اهمیت این موضوع به لحاظ تاثیر زیاد آن در انتخاب نوع مدولاسیون، طراحی روش دستیابی به کانال و کنترل خطاست. بدین جهت در این مقاله تعیین حدود تغییرات احتمال خطأ به صورت لحظه‌ای مورد توجه بوده که با محاسبات و شبیه‌سازی، میزان خطای بیت دریافتی در طول مسیر عبور ماهواره به صورت لحظه‌ای به دست آمده و حدود تغییرات آن مشخص شده است.

واژه‌های کلیدی: لینک رادیویی، احتمال خطای بیت، محوش‌گی، ماهواره‌های LEO

علائم و اختصارات

h_2	پاسخ کانال در مسیر ۲	مؤلفه هم‌فار
h_3	پاسخ کانال در مسیر ۳	مؤلفه معتمد
H_{sp}	ارتفاع نقطه شروع پرواز از سطح دریا	عرض جغرافیایی نقطه شروع پرواز
H_{ap}	ارتفاع نقطه استقرار آتن از سطح دریا	عرض جغرافیایی نقطه استقرار آتن
K	ضریب رایس	ثابتی به نام خروج از مرکز زمین
L_{sp}	طول جغرافیایی نقطه شروع پرواز	ضریب افت پلاریزاسیون
L_{ap}	طول جغرافیایی نقطه استقرار آتن	بهره آتن فرستنده
L_T	مجموع افته‌های پراکنده	الگوی تشعشعی دو آتن
M_1, M_2, M_3	ماتریس انتقال	پاسخ کانال در مسیر صفر
M_{sp}	فاصله نقطه شروع پرواز تا مرکز زمین	پاسخ کانال در مسیر ۱
M_{ap}	فاصله نقطه استقرار آتن گیرنده تا مرکز زمین	۱. دکتری (نویسنده مخاطب)
N_0	توان نویز گوسی سفید جمع‌شونده	۲. استاد
P_{in}	توان دریافتی	۳. کارشناس ارشد
P_t	توان فرستنده	
P_0	حساسیت گیرنده	

کل پهنه‌ای باند سیگنال می‌شود. این تضعیف با افزایش فرکانس افزایش می‌باید همچنین با کاهش زاویه بین پرتو ارسالی و نقطه دریافت معروف به زاویه فراز^۵ اثر پدیده سایه بیشتر می‌شود. با توجه به موارد مذکور کاتال رادیویی بین ایستگاه زمینی و ماهواره حساس‌ترین بخش این سیستم ارتباطی است و میزان کیفیت کل سیستم ارتباطی را مشخص می‌کند. به همین دلیل ارائه مدل مناسب و تعیین منطقی حد آستانه حداقل برای سیگنال دریافتی قابل آشکارسازی اهمیت فوق العاده‌ای دارد.

در گذشته چندین مدل برای شبیه‌سازی کاتال‌های ماهواره‌ای ارائه شده است [۲ و ۱] اما هیچ یک از این مدل‌ها به صورت لحظه‌ای به اصلاح وضعیت لینک با توجه به میزان خطا در آن لحظه نپرداخته‌اند. مقاله حاضر کمک می‌کند که به صورت لحظه‌ای به زیرسیستم‌های ماهواره فرمان صادر شود که با توضیح نوع مدولاسیون یا کنترل زیرسیستم‌ها، باعث کاهش میزان خطأ می‌شود.

در این مقاله از مبانی بحث که در گذشته، مقاله‌های [۳-۵] برای استفاده در تله‌متري فضایي اجسام پرنده ارائه شده استفاده می‌شود. با دریافت مختصات مسیر حرکت ماهواره در مدار و مختصات گرینویچ نقطه‌ای که ماهواره از افق طلوع می‌کند از نرم‌افزارهای ردیاب ماهواره و درنظرگرفتن مختصات گرینویچ نقطه‌ای که آتنن گیرنده در آن مستقر است و تبدیل مختصات این نقاط به مختصات کارتزین و سپس استفاده از ماتریس‌های انتقال از سیستم مختصات بدنه به سیستم مختصات مداری، زوایای ارتباطی θ و ϕ (شکل ۱) محاسبه شده و همچنین فاصله ماهواره از ایستگاه گیرنده زمینی به دست می‌آید (شکل ۲). سیستم مختصات بدنه بر روی محوهای اصلی بدنه قرار می‌گیرد و به منظور تعیین وضعیت ماهواره به کار می‌رود و سیستم مختصات مداری بر روی مدار در مرکز جرم ماهواره قرار دارد [۶]. پس از محاسبه زوایای ارتباطی لحظه‌ای بر روی ماهواره با استفاده از این زوایای ارتباطی میزان بهره لحظه‌ای آتنن‌های فرستنده تعیین می‌شود و پس از آن تغییرات میزان سیگنال به نویز به صورت لحظه‌ای به دست آمده، سپس با توجه به تغییرات سیگنال به نویز،^۷ BER به صورت لحظه‌ای در مدت زمان در دیدرس بودن آتنن گیرنده تله‌متري ماهواره LEO به دست آمده است. در مدلی مناسب باید رفتار متغیر با زمان لینک رادیویی ماهواره ایستگاه درنظرگرفته شود. چون این موضوع اهمیت زیادی در انتخاب نوع مدولاسیون و طراحی روش دست‌یابی به کاتال و کنترل خطأ دارد.

5. Elevation
6. Signal To Noise Ratio
7. Bit Error Rate

R	اندازه یک متغیر تصادفی گوسی مختلط
R	فاصله بین آتنن فرستنده و آتنن گیرنده تله‌متري
R _i	فاصله آتنن گیرنده و ماهواره
S	میزان ذخیره انرژی
S _{ef}	سطح مؤثر آتنن گیرنده
t _i	زمان پرواز
X	مختصات طولی
X _{sp}	مختصات طولی نقطه شروع پرواز
X _{ap}	مختصات طولی نقطه استقرار آتنن
x _i	مختصات طولی لحظه‌ای پرواز
y	مختصات عرضی
y _{sp}	مختصات عرضی نقطه شروع پرواز
y _{ap}	مختصات عرضی نقطه استقرار آتنن
y _i	مختصات عرضی لحظه‌ای پرواز
Z	مختصات عمودی
z _{sp}	مختصات عمودی نقطه شروع پرواز
z _{ap}	مختصات عمودی نقطه استقرار آتنن
z _i	مختصات عمودی لحظه‌ای پرواز
α	متغیر تصادفی گوسی مختلط
α_i	زاویه افقی آتنن گیرنده
β_i	زاویه عمودی آتنن گیرنده
β	دانمه مؤلفه دید مستقیم
θ	زاویه عمودی ارتباطی
ϕ	زاویه افقی ارتباطی
λ	طول موج
σ_0^2	توان کل متغیر تصادفی α

AFC	Automatic Frequency Control
AWGN	Additive White Gaussian Noise
BER	Bit Error Rate
CFO	Canceller Frequency Offset
LOS	Line of Side
MIMO	Multi Input Multi Output
PDF	Probability Distribution Function
QPSK	Quad Phase Shift Keying
SER	Symbol Error Rate
SNR	Signal to Noise Ratio
SP	Start Point

مقدمه

ارتباط رادیویی بین ماهواره‌های LEO^۴ و ایستگاه زمینی تله‌متري تحت تأثیر تغییرات سیگنال ناشی از پدیده سایه و پدیده محوش‌گی است. سایه افتادن روی سیگنال دریافتی توسط موانع واقع شده در مسیر انتشار سیگنال صورت می‌گیرد و سبب تضعیف قدرت و در

4. Low Earth Orbit

۱۱. زمینی (SP) که از مختصات جغرافیایی آن تعیین می‌گردد.
۱۲. محاسبه مختصات دکارتی محل استقرار آتن گیرنده تله‌متري (AP) در منطقه استقرار سیستم تله‌متري که از مختصات جغرافیایی آن تعیین می‌شود.
۱۳. سپس با استفاده از ماتریس‌ها و معادلات فضایی که در این بخش آمده، زوایای ارتباطی θ و ϕ مربوط به آتن‌های فرستنده که در شکل (۱) نشان داده شده و زوایای عمودی^{۱۳} و افقی^{۱۴} مربوط به آتن گیرنده به همراه بُرد لینک رادیویی (R) بر حسب زمان پرواز محاسبه می‌شود.
- ابتدا تبدیل مختصات جغرافیایی نقطه شروع ظهور ماهواره به مختصات دکارتی، مطابق با معادله (۱) صورت می‌پذیرد [۵].

$$\begin{aligned}x_{sp} &= (M_{sp} + H_{sp}) \cdot \cos B_{sp} \cdot \cos L_{sp} \\y_{sp} &= (M_{sp} + H_{sp}) \cdot \cos B_{sp} \cdot \sin L_{sp} \\z_{sp} &= [M_{sp} \cdot (1 - e^2) + H_{sp}] \cdot \sin B_{sp}\end{aligned}\quad (1)$$

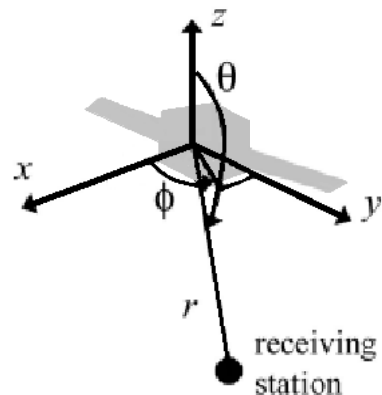
که در معادله (۱)، x_{sp} ، y_{sp} و z_{sp} مختصات دکارتی SP پرواز براساس موقعیت آن بر سطح واقعی زمین و M_{sp} فاصله تصویر SP پرواز بر سطح مدل فرضی زمین تا مرکز زمین است، که از معادله (۲) محاسبه می‌شود. H_{sp} ارتفاع SP از سطح دریا، B_{sp} عرض جغرافیایی، L_{sp} طول جغرافیایی و e^2 یک ثابت بهنام خروج از مرکز زمین است [۵].

$$M_{sp} = \frac{6378245}{\sqrt{1 - (0.00669 \cdot \sin^2 B_{sp})}} \quad (2)$$

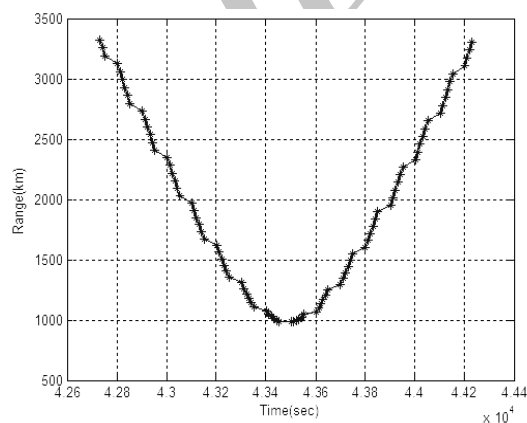
سپس، تبدیل مختصات جغرافیایی نقطه استقرار آتن گیرنده تله‌متري مطابق با معادله (۳) صورت می‌پذیرد [۵].

$$\begin{aligned}x_{ap} &= (M_{ap} + H_{ap}) \cdot \cos B_{ap} \cdot \cos L_{ap} \\y_{ap} &= (M_{ap} + H_{ap}) \cdot \cos B_{ap} \cdot \sin L_{ap} \\z_{ap} &= [M_{ap} \cdot (1 - e^2) + H_{ap}] \cdot \sin B_{ap}\end{aligned}\quad (3)$$

که در معادله (۳)، x_{ap} ، y_{ap} و z_{ap} مختصات دکارتی نقطه استقرار آتن گیرنده تله‌متري بر سطح واقعی زمین است. M_{ap} فاصله تصویر AP بر سطح مدل فرضی زمین تا مرکز زمین است، که از معادله (۴) بدست می‌آید. H_{ap} ارتفاع AP از سطح دریا، B_{ap} عرض جغرافیایی، L_{ap} طول جغرافیایی نقطه استقرار آتن گیرنده تله‌متري است [۵].



شکل ۱- زوایای ارتباطی ماهواره



شکل ۲- فاصله ماهواره از ایستگاه زمینی

محاسبه زوایای ارتباطی

در خصوص محاسبه زوایای ارتباطی بین آتن فرستنده نصب شده بر ماهواره و آتن گیرنده تله‌متري، مقاالتی ارائه شده است [۳-۴]. در اینجا به طور خلاصه الگوريتم پيشنهاد شده مطابق مرجع [۵] ارائه می‌شود.

۱. دریافت پارامترهای پروازی ماهواره شامل مختصات x، y، z بر حسب زمان و زوایای چرخش عمودی^{۱۰}، چرخش حول محور طولی^۹، چرخش افقی^{۱۱} بر حسب زمان، برای کل مسیر حرکت ماهواره که بر اساس سیستم مختصات سه بعدی ارائه می‌شود. این پارامترها از نرم‌افزارهای شبیه‌سازی یا از اطلاعات تله‌متري پروازهای قبلی بدست می‌آید.

۲. محاسبه مختصات دکارتی نقطه شروع دیده‌شدن ماهواره از ایستگاه

11. Start Point
12. Antenna Position
13. Elevation
14. Azimuth

8. Pitch
9. Roll
10. Yaw

محاسبه زاویه افقی آتن گیرنده در لحظه t_i :

$$\alpha_i = \arctg \left[\frac{z_{ui}}{x_{ui}} \right] \cdot \frac{180}{\pi} \quad (11)$$

برای محاسبه زاویه θ_i (نشان داده شده در شکل ۱) بر بدنه ماهواره در لحظه t_i :

$$\theta_i = \arccos \left(\frac{n_{X_{api}} \cdot x_{ui} + n_{Y_{api}} \cdot y_{ui} + n_{Z_{api}} \cdot z_{ui}}{\sqrt{(x_{ui}^2 + y_{ui}^2 + z_{ui}^2) \cdot (n_{X_{api}}^2 + n_{Y_{api}}^2 + n_{Z_{api}}^2)}} \right) \cdot \frac{180}{\pi} \quad (12)$$

در معادله (۱۲) $n_{Z_{api}}$ و $n_{Y_{api}}$ از معادله (۱۳) به دست می‌آیند.

$$\begin{bmatrix} n_{X_{api}} \\ n_{Y_{api}} \\ n_{Z_{api}} \end{bmatrix} = \mathbf{M}_2 \cdot \mathbf{M}_1^T \begin{bmatrix} n_{X_{ci}} \\ n_{Y_{ci}} \\ n_{Z_{ci}} \end{bmatrix} \quad (13)$$

$$\begin{bmatrix} n_{X_{ci}} \\ n_{Y_{ci}} \\ n_{Z_{ci}} \end{bmatrix} = \mathbf{M}_3^T \begin{bmatrix} 1 \\ 0 \\ 0 \end{bmatrix} \quad (14)$$

ماتریس مبدل دستگاه مختصات است، که تعریف آن در معادله (۱۵) آمده است.

$$\mathbf{M}_3 = \begin{bmatrix} \delta_{11i} & \delta_{12i} & \delta_{13i} \\ \delta_{21i} & \delta_{22i} & \delta_{23i} \\ \delta_{31i} & \delta_{32i} & \delta_{33i} \end{bmatrix} \quad (15)$$

مؤلفه‌های ماتریس مبدل \mathbf{M}_3 در مرجع [۳] به طور کامل مطرح شده‌اند.

برای محاسبه زاویه φ_i (نشان داده شده در شکل ۱) بر بدنه ماهواره در لحظه t_i :

$$\varphi_i = \arctg \left[\frac{y'_{ui}}{z'_{ui}} \right] \cdot \frac{180}{\pi} \quad (16)$$

در معادله (۱۶) y'_{ui} و z'_{ui} از معادله (۱۷) به دست می‌آید.

$$\begin{bmatrix} x'_{ui} \\ y'_{ui} \\ z'_{ui} \end{bmatrix} = \mathbf{M}_3^T \begin{bmatrix} x_u - x_{ci} \\ y_u - y_{ci} \\ z_u - z_{ci} \end{bmatrix} \quad (17)$$

$$\begin{bmatrix} x_u \\ y_u \\ z_u \end{bmatrix} = \mathbf{M}_1 \begin{bmatrix} x_{ap} - x_{sp} \\ y_{ap} - y_{sp} \\ z_{ap} - z_{sp} \end{bmatrix} \quad (18)$$

توالی چرخش زوایای پیج، دل و یا در نحوه محاسبه ماتریس انتقال مؤثر هستند. اثبات درستی تمامی معادلات این بخش در مرجع [۷] بررسی شده است.

$$M_{ap} = \frac{6378245}{\sqrt{1 - (0.00669 \cdot \sin^2 B_{ap})}} \quad (4)$$

مختصات لحظه‌ای پرواز در دستگاه جسم پرنده، که پیشتر در خصوص آماده‌سازی آن اشاره شد، با معادله (۵) به دستگاه مختصات نقطه شروع پرواز بر زمین منتقل می‌شود.

$$\begin{bmatrix} x_i \\ y_i \\ z_i \end{bmatrix} = \begin{bmatrix} x_{sp} \\ y_{sp} \\ z_{sp} \end{bmatrix} + \mathbf{M}_1^T \cdot \begin{bmatrix} x_{ci} \\ y_{ci} \\ z_{ci} \end{bmatrix} \quad (5)$$

در معادله (۵)، x_i ، y_i و z_i مختصات لحظه‌ای پرواز در دستگاه نقطه شروع دیده شدن ماهواره است. \mathbf{M}_1 ماتریس انتقال دستگاه ماهواره به دستگاه مستقر در نقطه SP است (معادله ۶) x_{ci} ، y_{ci} و z_{ci} مختصات لحظه‌ای پرواز است، که از نرم‌افزارهای شبیه‌ساز پرواز به دست آمده است.

$$\mathbf{M}_1 = \begin{bmatrix} \omega_{11} & \omega_{12} & \omega_{13} \\ \omega_{21} & \omega_{22} & \omega_{23} \\ \omega_{31} & \omega_{32} & \omega_{33} \end{bmatrix} \quad (6)$$

مؤلفه‌های ماتریس انتقال در مرجع [۳] به طور کامل مطرح شده‌اند.

به منظور انتقال مختصات لحظه‌ای مسیر ماهواره که از معادله (۵) به دست آمده به دستگاه موقعیت آتن گیرنده تله‌متري از معادله (۶) استفاده می‌شود:

$$\begin{bmatrix} x_{ui} \\ y_{ui} \\ z_{ui} \end{bmatrix} = \mathbf{M}_2 \cdot \begin{bmatrix} x_i - x_{MR} \\ y_i - y_{MR} \\ z_i - z_{MR} \end{bmatrix} \quad (7)$$

در معادله (۷)، x_{ui} ، y_{ui} و z_{ui} مختصات ماهواره است، که دستگاه آن به دستگاه مکان آتن گیرنده، توسط ماتریس انتقال (\mathbf{M}_2) منتقل شده است.

$$\mathbf{M}_2 = \begin{bmatrix} \gamma_{11} & \gamma_{12} & \gamma_{13} \\ \gamma_{21} & \gamma_{22} & \gamma_{23} \\ \gamma_{31} & \gamma_{32} & \gamma_{33} \end{bmatrix} \quad (8)$$

مؤلفه‌های ماتریس انتقال در مرجع [۳] به طور کامل مطرح شده‌اند.

با استفاده از مختصات محاسبه شده، از معادله (۷) می‌توان به کمک معادلات (۹)، (۱۰) و (۱۱) به ترتیب: R_i (فاصله آتن گیرنده و ماهواره)، β_i (زاویه عمودی آتن گیرنده) و α_i (زاویه افقی آتن گیرنده) را به دست آورد.

$$R_i = \sqrt{x_{ui}^2 + y_{ui}^2 + z_{ui}^2} \quad (9)$$

$$\beta_i = \arctg \left[\frac{y_{ui}}{\sqrt{x_{ui}^2 + z_{ui}^2}} \right] \cdot \frac{180}{\pi} \quad (10)$$

محاسبه SNR^{۱۶}

توان دریافتی در گیرنده تله‌متري از رابطه زیر به دست می‌آید:

$$P_{in} = \frac{P_t \cdot G_t(\theta, \varphi) \cdot f(\theta, \varphi) \cdot S_{ef} \cdot L_T}{4\pi R^2} \quad (20)$$

در این معادله، P_{in} توان دریافتی، P_t توان فرستنده، G_t بهره آتن فرستنده، f ضریب افت پلاریزاسیون، S_{ef} سطح مؤثر آتن گیرنده، L_T مجموع افتهای پراکنده و R فاصله بین آتن فرستنده و آتن گیرنده است. در معادله (۲۱)، P_0 معروف میزان حساسیت گیرنده زمینی است. با فرض مجذوبون آتن گیرنده به سیستم ردياب خودکار، فقط G_t بهره آتن فرستنده و f ضریب افت پلاریزاسیون نسبت به تغیيرات زوایای ارتیاطی وابسته هستند. طبق تعريف میزان ذخیره انرژی S در گیرنده برابر است با نسبت توان سیگنال در ورودی گیرنده به میزان حساسیت گیرنده، که برحسب dB به صورت معادله (۲۱) است.

$$S = 10 \cdot \log \frac{P_{in}}{P_0} \quad (21)$$

و برای سنجش میزان کارایی سیستم، لازم است که نسبت سیگنال به نویز (SNR) را بررسی کنیم. سیگنال به نویز به صورت زیر محاسبه می‌شود:

$$SNR = \frac{S}{N_0} \quad (22)$$

برای محاسبه SNR در معادلات فوق، N_0 نویز سفید گوسی جمع‌شونده با سیگنال با توان -130 - دسی‌بل، مجموع افتهای پراکنده 6 - دسی‌بل، فرکанс کریپ فرستنده 460 مگاهرتز، توان فرستنده 10 وات، ضریب افت پلاریزاسیون $5/50$ و حساسیت گیرنده -95 - دبی ام، در نظرگرفته شده است.

شبیه‌سازی لینک رادیویی

در فرکانس‌های بالا، سایه‌شدن، چندمسیرگی یا محوشدگی فرآیندهای غالب در کanal ماهواهای هستند و پدیده‌هایی چون تضعیف تروپسفری و یونسفری در نظر گرفته نمی‌شوند. کanal رادیویی با دو نوع از اثرات محوشدگی توصیف می‌شود: محوشدگی مقیاس بزرگ و محوشدگی مقیاس کوچک.

در محوشدگی مقیاس بزرگ میانگین توان سیگنال در زمان به آرامی تغییر می‌کند و این محوشدگی در صورت حضور موانع در مسیر سیگنال بوجود می‌آید و اغلب با توزیع لوگ نرمال^{۱۷} مدل می‌شود. محوشدگی مقیاس کوچک اغلب با توزیع رایس یا رایلی

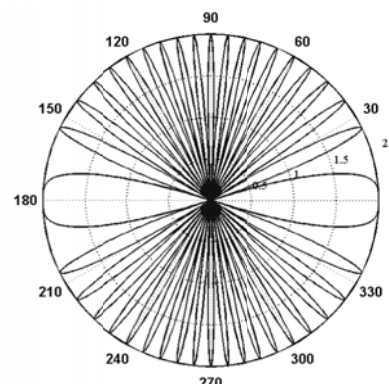
الگوی تشعشعی آتن ماهواره

الگوی تشعشعی آتن اهمیت بالایی دارد، چرا که دگرگونی‌های زاویه‌ای چگالی توان یک سیگنال را در فضا توصیف می‌کند، همچنین فهم ویژگی‌های تشعشعی آتن در انتخاب درست مکان و جهت‌یابی آتن‌های فرستنده و گیرنده برای دریافت حداکثر میزان سیگنال دریافتی حائز اهمیت است.

بخش اساسی سیستم تله‌متري، مسیر یا همان محیط بین دو آتن است. در این بحث فرض می‌شود که دو آتن در فضای آزاد هستند و فاصله بین دو آتن برای اطمینان از اینکه تغیر موج به طور کلی انتشار الکترومغناطیسی را بیان کند به اندازه کافی بزرگ است. با زوایای لحظه‌ای θ و φ به دست آمده از الگویتمن‌های مربوطه [۵] می‌توان میزان بهره آتن فرستنده را با محاسبه الگوی تشعشعی میدان و فرض دو آتن فرستنده نصب شده روی ماهواره از نوع منبع نقطه‌ای در حداقل فاصله 10λ از معادله (۱۹) بدست آورد [۵].

$$(k = 2\pi/\lambda) \\ h_{1,2}(\theta, \varphi) = f_{1,2}(\theta, \varphi) \cdot \exp[jk(x_{1,2} \sin \theta \cos \varphi + y_{1,2} \sin \theta \sin \varphi + z_{1,2} \cos \theta)] \quad (19)$$

البته در معادله (۱۹) به دلیل یکسان‌بودن مقدار عبارت e^{-jkr}/r برای هر دو آتن از آن صرف‌نظر شده است. در شکل (۳) برای زاویه‌ای خاص ($\theta = \frac{\pi}{2}$) پترن حاصل از معادله (۱۹) برای دو آتن فرستنده با فاصله 10λ رسم شده است. همان‌طور که در شکل (۳) مشاهده می‌شود، تعداد صفرها^{۱۸} در الگوی تشعشعی بسیار زیاد است و این صفرهای الگوی تشعشعی قادر به تخریب لینک رادیویی تله‌متري خواهند بود [۸].



شکل ۳- پترن تشعشعی دو آتن فرستنده با فاصله نصب 10λ برای $\varphi = 0-360$ و $(\theta = 90^\circ)$

16. Signal to Noise Ratio
17. Log-Normal

15. Null

در موقعیت خط دید مستقیم علاوه بر مؤلفه‌های چند مسیره LOS را نیز داریم. در این حالت تابع توزیع رایس برای توصیف آمارگان دامنه به کار می‌رود. همانند حالت قبل، pdf $|a|$ به صورت یک منحنی در شکل (۵) به دست آمده است. فرمول تئوری رایس به فرم زیر است [۱۱]

$$f_{Rice}(r) = \frac{r}{\sigma_0^2} \exp[-(r^2 + \beta^2)/2\sigma_0^2] I_0\left[\frac{r\beta}{\sigma_0^2}\right], r \geq 0 \quad (25)$$

واریانس مؤلفه‌های حقیقی یا موهومی از بخش چندمسیره سیگنال است و β دامنه مؤلفه دید مستقیم است. در معادله (۲۵) درصورتی که β مساوی صفر در نظر گرفته شود، دو توزیع یکسان خواهد بود.

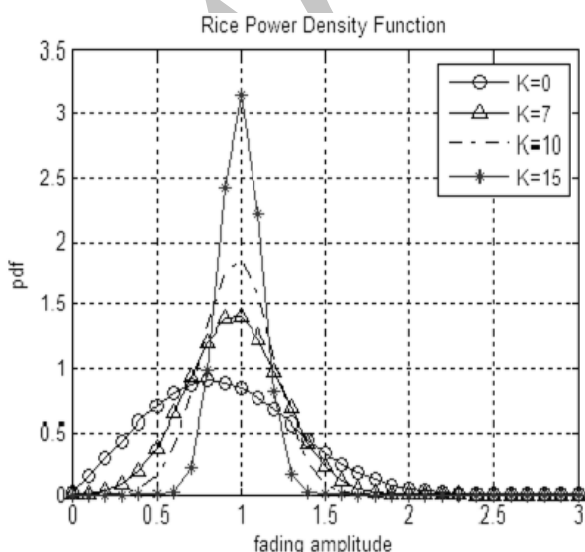
تابع چگالی احتمال این تابع بر حسب پارامتر K ، ضریب رایس، شناخته می‌شود.

$$K = \beta^2 / 2\sigma_0^2 \quad (26)$$

بهترین کanal محوشدگی کanal رایس با ضریب K بی‌نهایت است. این کanal شرایط LOS قوی را دارد و تقریب خوبی از کanal AWGN است. در $K=0$ بدترین حالت کanal رایس یا همان کanal محوشدگی رایلی وجود دارد. بنابراین کanal محوشدگی رایلی حالت خاص کanal رایس با ضریب $K=0$ است. بر حسب این ضریب، PDF رایس را به این فرم می‌توان نوشت:

$$P_{Rice}(r) = \frac{2kr}{\beta^2} \exp[-kr^2/\beta^2] e^{-k} I_0\left[\frac{2kr}{\beta}\right], r \geq 0 \quad (27)$$

این PDF برای چند مقدار K و با نگاه داشتن توان کل سیگنال در شکل (۵) رسم شده است. برای مقادیر بزرگ K ، مؤلفه دید مستقیم به طور کلی غالب خواهد بود، یعنی محوشدگی کمتر مداخله دارد و کanal به رفتار AWGN برمی‌گردد.



شکل ۵- تابع چگالی توان توزیع رایس در حالت شبیه‌سازی برای $\sigma_0^2 = 0.5$

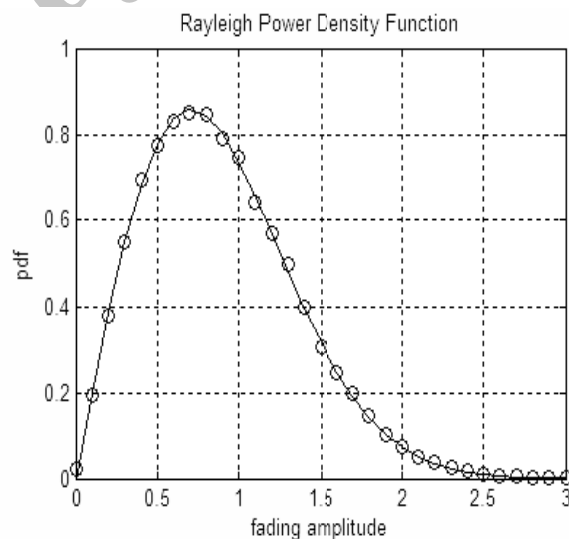
مدل می‌شود، زیرا در این حالت تعداد زیادی از مسیرهای بازگشته با پوش سیگنال دریافتی برخورد می‌کنند. همان‌طور که می‌دانیم برای بیشتر اهداف شبیه‌سازی شرایط واقعی، حالات رایس و رایلی برای توصیف کانال‌های ماهواره‌ای کافی است. در این کار پژوهشی، محوشدگی کanal رادیویی از نوع محوشدگی مقیاس کوچک فرض شده که یک محوشدگی تخت است، یعنی از تداخل بین سمبول‌ها صرف‌نظر شده است [۱۰].

ثابت می‌شود درصورتی که a یک متغیر تصادفی گوسی مختلط باشد آنگاه دامنه این متغیر تصادفی یک متغیر تصادفی رایلی خواهد بود [۱۱].

$$a = a + ib \quad (23)$$

$$r = |\alpha| = \sqrt{a^2 + b^2}$$

و b را می‌توان مؤلفه‌های I و Q یا هم‌فاز و متعامد یک سیگنال باند پایه مختلط فرض کرد. با فرض اینکه a و b متغیرهای تصادفی گوسی مستقل‌اند، تابع توزیع (pdf) مربوط به r در نمودار شکل (۴) رسم شده است. در این شکل نتیجه تئوری به شکل صاف و نتیجه شبیه‌سازی به صورت دایره نمایش داده شده است.

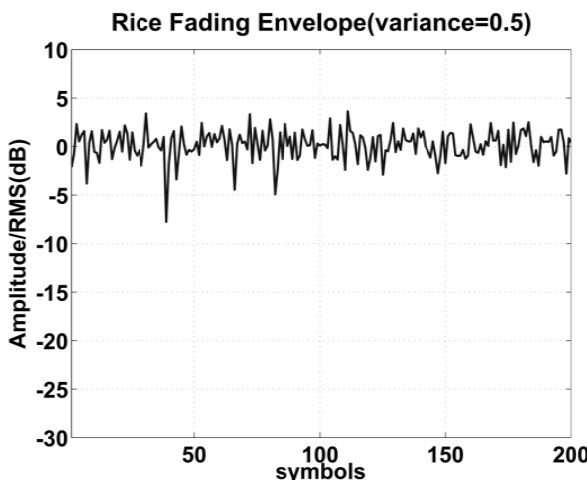


شکل ۴- تابع چگالی توان توزیع رایلی در حالت تئوری و شبیه‌سازی برای $\sigma_0^2 = 0.5$

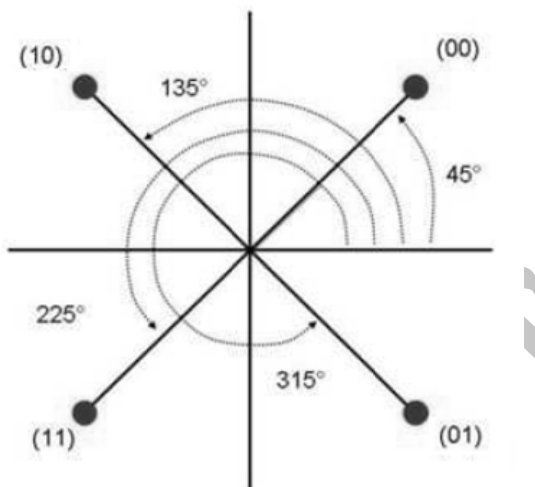
توزیع رایلی تقریب خوبی برای آمارگان دامنه محوشدگی اندازه‌گیری شده برای کanal محوشدگی در موقعیت‌های فاقد خط دید مستقیم است. یک توزیع رایلی در تئوری با فرمول زیر داده می‌شود [۱۱].

$$f_{Rayleigh}(r) = \frac{r}{\sigma_0^2} \exp[-r^2/2\sigma_0^2], r \geq 0 \quad (24)$$

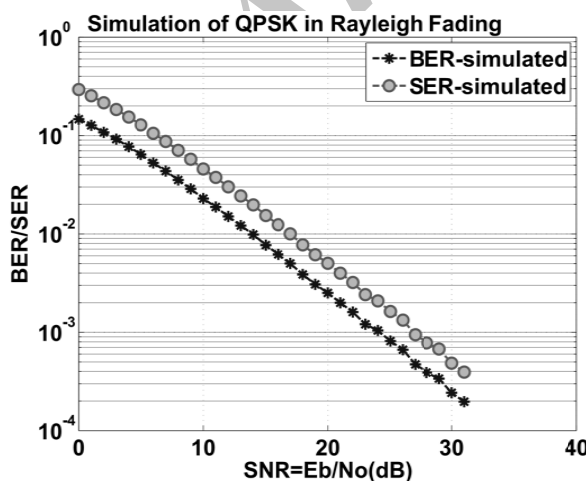
توان کل هر α برابر با σ_0^2 است.



شکل ۷- پوش دامنه سیگنال توزیع رایس شبیه‌سازی شده برای $\sigma_0^2 = 0.5$ و $K=10\text{dB}$



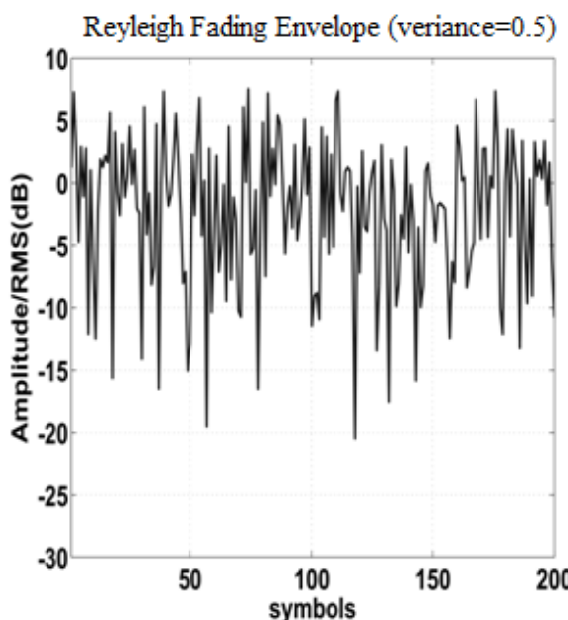
شکل ۸- نمودار نقاط سیگنال QPSK با شیفت فاز $\frac{\pi}{4}$



شکل ۹- تغییرات SER و BER با سیگنال به نویز در کanal فیدینگ رایلی

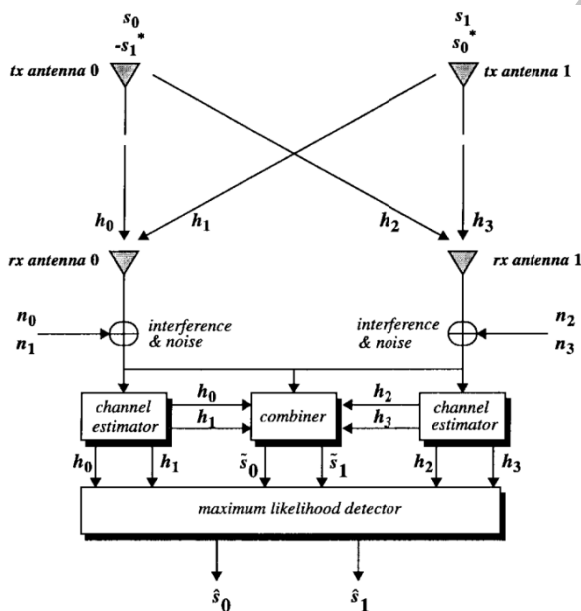
برای توصیفتابع آماری فیدینگ اصلی لازم است اثر داپلر شیفت نیز درنظر گرفته شود. شیفت فرکانسی داپلر به دلیل ثابت نبودن موقعیت ماهواره و ایستگاه نسبت به هم به وجود می‌آید و با عبور ماهواره از بالای ایستگاه مقادیر آن بین مقدار مثبت و منفی خود تغییر می‌کند. این شیفت با تنظیم هم‌زمان آتن گیرنده و فرستنده جبران می‌شود. اگر گیرنده مجهر به یک کنترل کننده اتوماتیک فرکانس (AFC) باشد داپلر جبران شده و اثر آن حذف می‌شود. البته از آنجاکه تغییرات داپلر ناچیز است اگر گیرنده به درستی طراحی شده باشد، بلوک حذف افست حامل (CFO) قابلیت جبران داپلر را نیز دارد [۱۲].

شبیه‌سازی کانال در دو حالت، کانال رایس و کانال با فیدینگ رایلی با استفاده از SNR محاسبه شده در بخش قبل انجام شده است. همچنین تغییرات پوش دامنه سیگنال محو شده در کانال‌های رایلی و رایس در حالت $\sigma_0^2 = 0.5$ شبیه‌سازی شده و در شکل‌های (۶) و (۷) نشان داده شده است [۱۱]. در شبیه‌سازی مدولاسیون QPSK همان‌طور که نمودار آن در شکل (۸) ارائه شده با شیفت فاز $\pi/4$ و کد Gray به کار برده شده است و SER و BER به دست آمده از شبیه‌سازی‌های انجام شده در کانال‌های رایلی و رایس در شکل‌های (۹) و (۱۰) نشان داده شده است.



شکل ۱۰- تغییرات پوش دامنه سیگنال توزیع رایلی شبیه‌سازی شده برای $\sigma_0^2 = 0.5$

در حال حاضر، به کارگیری تکنیک‌های مخابراتی چندورودی-چند خروجی در ارتباطات بی‌سیم برای مقابله با پدیده مخرب محوشدگی کارایی فراوانی پیدا کرده است. با توجه به شرایط کanal رادیویی تله‌متری که به غیر از سیگнал دید مستقیم بین آتن فرستنده و آتن گیرنده انتشار چند مسیره نیز دارد، تکنیک MIMO قادر به بهبود میزان خطای بیت دریافتی در گیرنده تله‌متری خواهد بود. برای افزایش دایبورسیتی و مقابله با محوشدگی چندین آتن در فرستنده و گیرنده به کار برد می‌شود. بین هر زوج از آتن‌ها در فرستنده و گیرنده یک مسیر سیگнал وجود دارد. سیگنال‌ها با اطلاعات مشابه از این مسیرها فرستاده می‌شود و هر کدام از این سیگنال‌ها مستقل از دیگری تحت محوشدگی مسیر قرار می‌گیرد. بنابراین در گیرنده چندین کپی از سیگنال اولیه داریم و ترکیب صحیح آن‌ها می‌تواند کیفیت لینک را بهبود بخشد. در شکل (۱۲) سیستم MIMO با دو آتن فرستنده و دو آتن گیرنده که به نام روش الموتی شناخته می‌شود، رسم شده است. مسیرهای ممکن بین دو آتن با فلش نمایش داده شده‌اند. دیده می‌شود که هر آتن گیرنده دو ورودی از آتن‌های فرستنده دریافت می‌کند و می‌توان از بازسازی سیگنال‌های دریافتی به وسیله روابط عنوان شده در ادامه، سیگنال ارسال شده را به دست آورد.

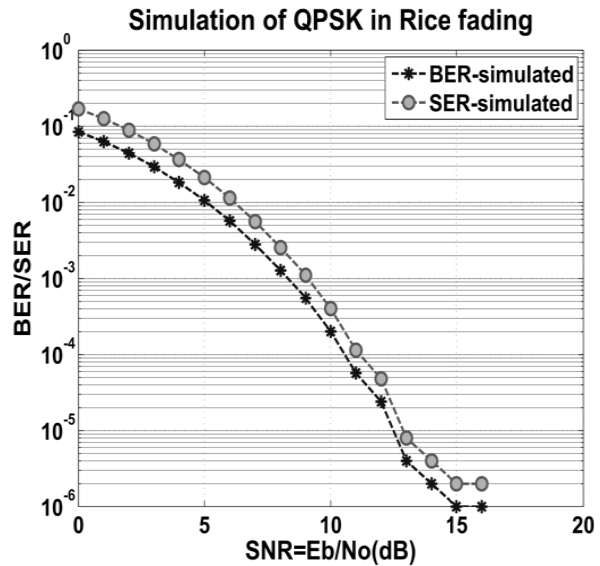


شکل ۱۲- سیستم MIMO با دو آتن فرستنده و دو آتن گیرنده

دو سیگنال دریافت شده در آتن گیرنده اول با فاصله زمانی T

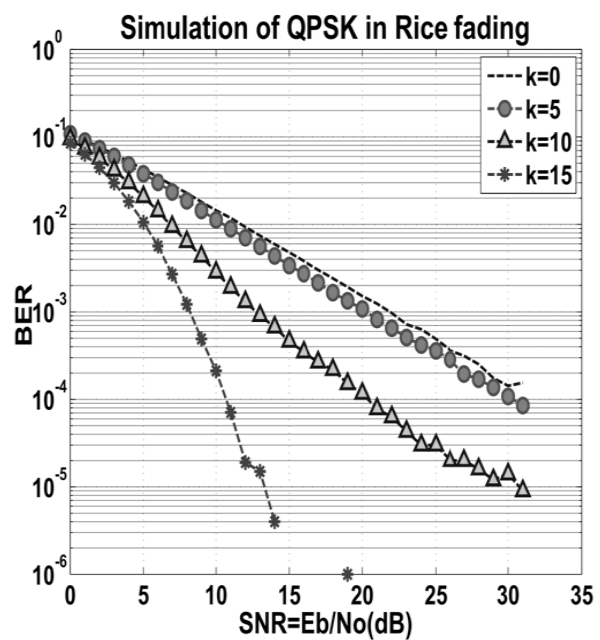
$$\begin{aligned} r_0 &= h_0 s_0 + h_1 s_1 + n_0 \\ r_1 &= -h_0 s_1^* + h_1 s_0^* + n_1 \end{aligned} \quad (۲۸)$$

دو سیگنال دریافت شده در آتن گیرنده دوم با فاصله زمانی T :

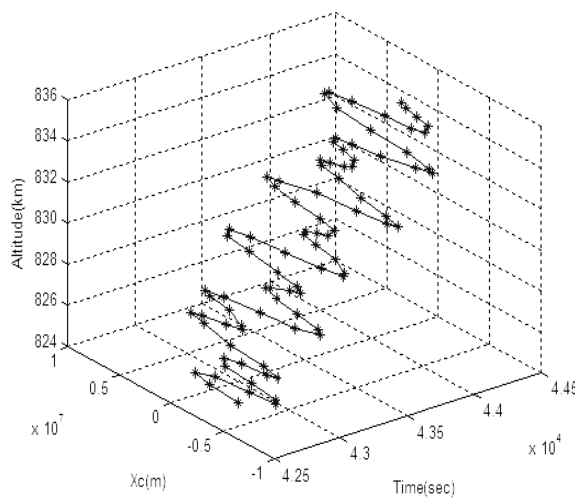


شکل ۱۰- تغییرات BER و SER با سیگنال به نویز در کanal فیدینگ رایس ($K = 15$ dB)

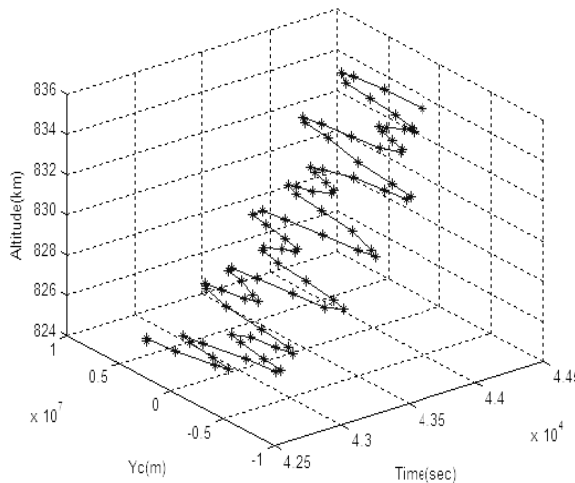
نرخ خطای بیت، برای یک کanal رایس با محوشدگی آرام حد وسط حالات رایلی و AWGN است و مقدار دقیق وابسته به مقدار k است. شکل (۱۱) تغییرات BER برای توزیع رایس با مشاهده مدولاسیون QPSK با تغییر مقادیر K نشان می‌دهد. با مشاهده شکل واضح است که کanal رایس در حالت حدی مقدار K شبیه به کanal AWGN رفتار می‌کند.



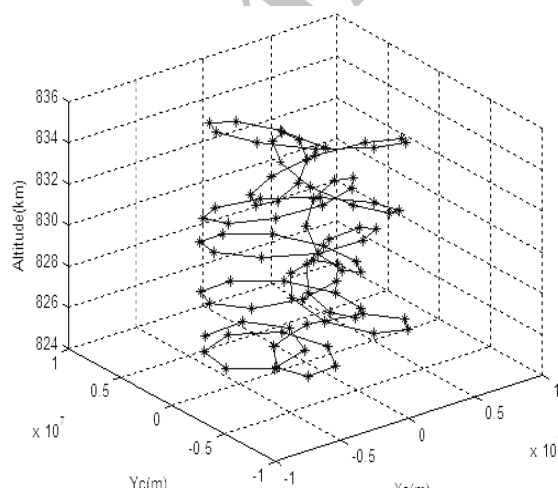
شکل ۱۱- تغییرات BER برای توزیع رایس با مدولاسیون QPSK و مقادیر متفاوت k



شکل ۱۴- تغییرات موقعیت ماهواره در راستای محور x بر حسب زمان و ارتفاع



شکل ۱۵- تغییرات موقعیت ماهواره در راستای محور y بر حسب زمان و ارتفاع



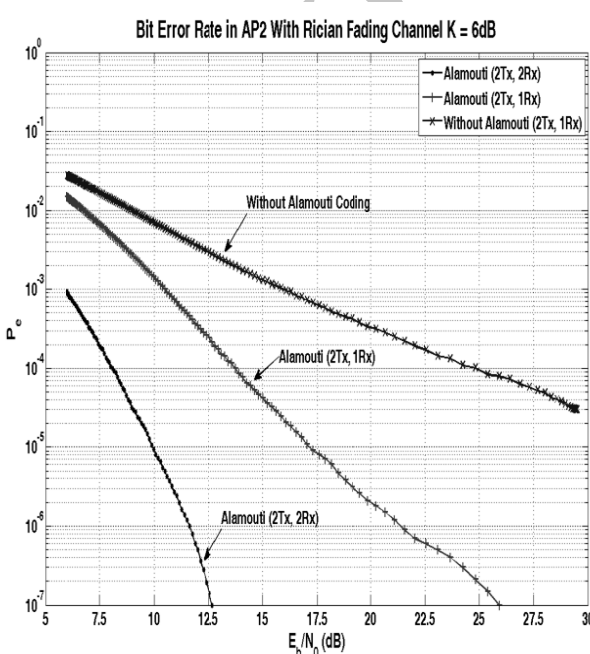
شکل ۱۶- تغییر همزمان در هر دو راستای x و y بر حسب ارتفاع

$$\begin{aligned} r_2 &= h_2 s_0 + h_3 s_1 + n_2 \\ r_3 &= -h_2 s_1^* + h_3 s_0^* + n_3 \end{aligned} \quad (۲۹)$$

سیگنال‌های ارسالی به دست آمده در گیرنده برای ارسال به آشکارساز با روش ماکریم م شباهت:

$$\begin{aligned} \check{s}_0 &= h_0^* r_0 + h_1^* r_1 + h_2^* r_2 + h_3^* r_3 \\ \check{s}_1 &= h_1^* r_2 - h_0^* r_1 + h_3^* r_2 - h_2^* r_3 \end{aligned} \quad (۳۰)$$

در شکل (۱۳) نتیجه شبیه‌سازی احتمال خطای بیت بر حسب سیگنال به نویز با استفاده از تکنیک MIMO ارائه شده است و میزان بهبود درصد خطای لینک دیده می‌شود.



شکل ۱۲- تغییرات BER برای توزیع رایس با استفاده از تکنیک MIMO ۱ در ۱ و ۲ در ۲

تحلیل و ارائه نتایج

در شکل (۱۴) موقعیت ماهواره در مختصات دکارتی در راستای محور X بر حسب تغییرات زمان و ارتفاع نشان داده شده است، دیده می‌شود ماهواره در مسیر حرکت خود نوسان دارد و در شکل (۱۵) نوسانات در راستای محور Y را نیز می‌بینیم. ترکیب دو شکل قبل در شکل (۱۶) نمایش داده شده که نوسان ۸ مانند ماهواره در مسیر حرکت خود را نشان می‌دهد. با توجه به این نوسانات از مسیر اصلی، پtern اطراف ماهواره متغیر است. در این مقاله، با تغییر زوایای ارتباطی بر روی ماهواره (شکل ۱) پtern به صورت لحظه‌ای به دست آمده (شکل ۳) و وضعیت کanal به صورت لحظه‌ای با تغییرات پtern بررسی شده است.

نتایج شبیه‌سازی کانال و محاسبه نرخ خطای بیت در شکل‌های (۹) و (۱۰) دیده می‌شود. دامنه پوش سیگنال در کانال رایس بیشتر از کانال رایلی است چون این کانال کمتر در معرض محوشدگی قرار دارد و احتمال خطای بیت در کانال رایلی بیشتر از کانال رایس است. به منظور انجام شبیه‌سازی‌ها از نرم‌افزار مطلب^{۱۹} استفاده شده است.

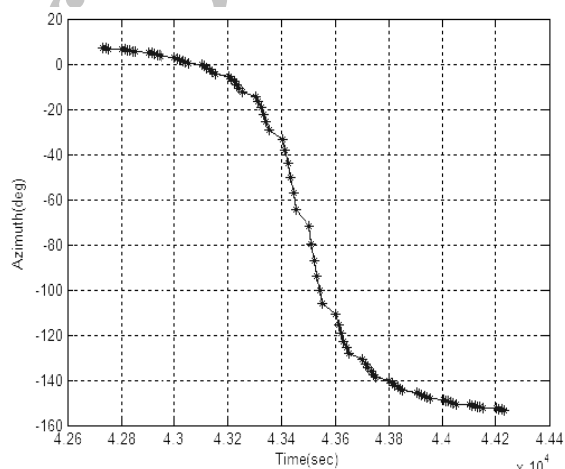
نتیجه‌گیری

با توجه به اهمیت طراحی لینک تله‌متري، این لینک باید به‌گونه‌ای طراحی شود که در برابر عوامل مخرب محیط دچار اختلال نگردد. برای این منظور رفتار متغیر با زمان لینک ماهواره ایستگاه در نظر گرفته شده و با توجه به شرایط، حالت‌های متفاوتی برای کانال در نظر گرفته شده است. یکی از مهم‌ترین پارامترها در تحلیل کیفیت لینک‌های بی‌سیم SNR است که با محاسبه آن به صورت لحظه‌ای وضعیت لینک به صورت لحظه‌ای سنجیده شده و میزان احتمال خطای لینک به دست می‌آید که می‌توان با انتخاب نوع مدولاسیون و طراحی روش دست‌یابی به کانال و سایر تکنیک‌های مخابراتی این خطا را به صورت لحظه‌ای بهبود بخشید. در این نوشتار برای ارتباط دائم و مطمئن از دو آتن استفاده شده بود و انتشار یک سیگنال واحد توسط دو آتن فرستنده به سمت آتن گیرنده، لینک رادیویی تله‌متري را دچار پدیده مخرب خود تداخلی خواهد کرد. استفاده از روش‌های کدینگ مانند کد الموتی برای بهبود لینک رادیویی در برابر پدیده خود تداخلی و کم کردن تأثیر این پدیده بر خطای بیت دریافتی گیرنده، مؤثر است.

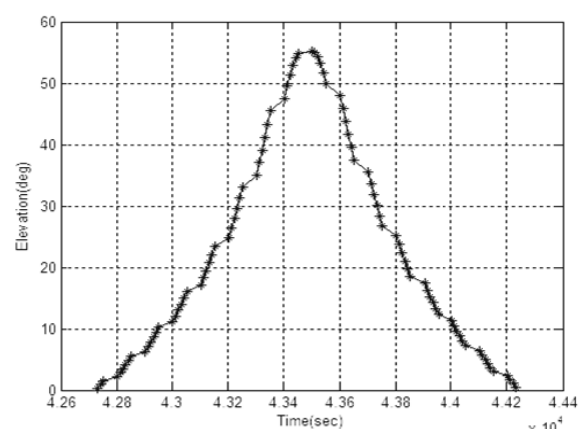
مراجع

- [1] Fischer, S., Seeger, R. and Kammer, K. D., "Implementation of a Real-Time Satellite Channel Simulator", *The Third European DSP Education & Research Conference*, Sept. 2000.
- [2] Shang, M., Jian-hao, H. and Jian, W., "Design and Implementation of Satellite Channel Simulator Based on Three-state Markov Chain", *Journal of System Simulation*, Vol. 443, No. 1, 2007, pp. 17-27.
- [3] Marzban, Sh. and Mohamedpour, K., "Design and Simulation of Radio Link of Aeronautical Telemetry for Air Vehicle with Fast Maneuvering", *8th Conference of Iranian Aerospace Society*, Esfahan, 2009, (In Persian).
- [4] Marzban, Sh. and Mohamedpour, K., "Analysis of Air Vehicle Maneuvering in Receiveing SNR for Aeronautical Telemetry Receiver", *9th Conference of Iranian Aerospace Society*, Tehran, 2010, (In Persian).
- [5] Marzban, Sh. and Mohamedpour, K., "Analysis of Air Vehicle Maneuvering in Radio Link of Aeronautical

در شکل‌های (۱۷) و (۱۸) به ترتیب زوایای افقی و فراز نمایش داده شده که جهت یک ماهواره را از نقطه‌ای روی سطح زمین مشخص می‌کنند. این زوایا اغلب برای تنظیم آتن با رديابي خودکار در ایستگاه زمینی به کار می‌روند. اما با توجه به اينکه با کاهش زاویه افق ناحیه سایه شدن وسیع‌تر می‌شود و با افزایش آن پدیده سایه^{۲۰} کاهش می‌يابد، پس از این زاویه برای تقریب وضعیت کانال می‌توان استفاده کرد. همان‌طور که دیده می‌شود در مدت زمانی که ماهواره LEO در دیدرس آتن گیرنده زمینی است (حدود ۷-۱۵ دقیقه) ابتدا زاویه فراز کوچک است پس محوشدگی بیشتر است و کانال با توزیع رایلی مدل می‌شود. هنگامی که ماهواره در نزدیکترین فاصله از ایستگاه قرار دارد بزرگ‌ترین زاویه فراز و کمترین تلفات را داریم در این حالت محوشدگی کمترین مقادیر دارد و کانال با توزیع رایس مدل می‌شود. پس از آن در ادامه مسیر دوباره زاویه فراز کاهش می‌يابد و مدل کانال تغییر می‌کند.



شکل ۱۷- زاویه سمت در مدت زمان رؤیت ماهواره LEO از ایستگاه زمینی



شکل ۱۸- زاویه افق در مدت زمان رؤیت ماهواره LEO از ایستگاه زمینی

- [10] Jensen, M., Rice, M., and Anderson, A., “Aeronautical Telemetry Using Multiple-Antenna Transmitters”, *IEEE Transactions on Aerospace and Electronic Systems*, Vol. 43, No. 1, 2007, pp. 262-272.
- [11] Pedroza, M., “Antenna Pattern Evaluation for Link Analysis”, In *Proceedings of the International Telemetering Conference*, San Diego, CA, 1996, pp. 158-166.
- [12] Sklar, B., “Rayleigh Fading Channels in Mobile Digital Communication Systems Part I: Characterization”, *IEEE Communications Magazine*, July 1997, pp. 90-100.
- [13] Kostov, N., “Mobile Radio Channels Modeling in Matlab”, *Radio Engineering*, Vol. 12, No. 4, December 2003, pp. 12-16.
- [14] Bolandi, H., Tabatabavakili, V., Akbari, M. H., Gorbanie-Vagei, B., Esmaeelzadeh, S. M. and Seddigi, S. H., “Position Finding of LEO Satellite from Elliptical Arch With Four Ground Station with One Way”, *10th Conference of Iranian Aerospace Society*, Tehran, 2011, (In Persian).
- [6] Marzban, Sh. and Mohamedpour, K., “Designing and Simulating The Aeronautical Telemetry Radio Link for an Air Vehicle With Fast Maneuver”, *Journal of Space Science & Technology*, Vol. 2, No. 3, Spring 2009, pp. 1-12, (In Persian).
- [7] Marzban, S. and Mohamedpour, K., “A Method for Performance Enhancement for Aeronautical Telemetry Radio Link Using Alamouti Code”, *Journal of Space Science & Technology*, Vol. 3, No. 3&4, Fall 2010 & Winter 2011, pp. 1-10, (In Persian).
- [8] Bar-Shalom, Y., Rong Li, X. and Kirubarajan, Th. *Estimation with Application to Tracking and Navigation*, John Wiley, 2001.
- [9] Marzban, Sh. and Mohamedpour, K., “Calculation of The Communication Angles between an Air Vehicle and Receiver Antenna in Aeronautical Telemetry”, *IET, Microwave, Antenna & Propagation*, Vol. 4, Issue.1-2, 2010, pp. 2187-2195.